

\*\*\*\*\*  
短文  
\*\*\*\*\*

# 时变系统辨识的多新息方法

丁 锋 谢新民 方崇智

(清华大学自动化系 100084)

## 摘要

推广了估计时不变参数的单新息修正技术，提出了多新息辨识方法。该方法可以抑制坏数据对参数估计的影响，具有较强的鲁棒性。分析表明多新息方法可以跟踪时变参数，计算量也较遗忘因子最小二乘法和卡尔曼(Kalman)滤波算法要小。仿真结果说明多新息算法估计系统参数是有效的。

**关键词：**参数估计，时变系统，收敛性，多新息技术。

## 1 引言

现有的一些参数估计方法，如最小二乘法、卡尔曼滤波(KF)算法、最小均方算法(LMS)等都是使用单新息修正技术的单新息(single innovation)辨识方法，即 $t$ 时刻的参数估计 $\hat{\theta}(t)$ 是在 $\hat{\theta}(t-1)$ 的基础上依靠增益向量 $L(t)$ 与标量新息(即单新息) $e(t)$ 的乘积来修正，亦即<sup>[1]</sup>

$$\hat{\theta}(t) = \hat{\theta}(t-1) + L(t)e(t).$$

本文将单新息修正技术加以推广，从新息修正角度提出了多新息辨识算法。对标量系统而言，多新息修正算法的参数估计是通过新息向量(多新息)来修正的；对多变量系统而言，多新息算法的参数估计是通过新息矩阵(多新息)来修正的。

对于时变参数系统，Goodwin等<sup>[2]</sup>建议用协方差复位(resetting)技术来跟踪时变参数，其缺点是使协方差阵失去了以前的信息，参数估计不断出现过渡过程。同样，投影算法完全没有利用过去的估计误差信息，其参数估计性能也难以保证。而本文的多新息算法和遗忘因子最小二乘法(FFLS)一样，都利用了以前的部分信息，因而有较好的辨识效果。

## 2 多新息辨识算法及其收敛性分析

考虑下列时变系统

$$y(t) = \varphi^T(t)\theta(t) + v(t). \quad (1)$$

其中 $\theta(t) \in R^n$ 为系统的时变参数向量， $y(t) \in R^1$ 为系统输出， $u(t) \in R^1$ 为系统输入，

$v(t) \in R^1$  为零均值随机噪声,  $\varphi(t) \in R^n$  是由系统输出输入数据  $(y(t-1), u(t-1), y(t-2), u(t-2), \dots)$  构成的信息向量, 上标 T 表示矩阵转置.

估计系统(1)时变参数  $\theta(t)$  的多新息辨识算法可表达为

$$\hat{\theta}(t_{s+1}) = \hat{\theta}(t_s) + \frac{\Gamma(p, t_s)}{r(q, t_s)} E(p, t_s), \quad (2a)$$

$$E(p, t_s) = Y(p, t_s) - \Gamma^T(p, t_s) \hat{\theta}(t_s), \quad (2b)$$

$$\hat{\theta}(t) = \hat{\theta}(t_s), \quad t \in T_s = \{t_s, t_s+1, t_s+2, \dots, t_{s+1}-1\}, \quad (2c)$$

$$r(q, t_s) = 1 + \text{tr}[\Gamma(q, t_s) \Gamma^T(q, t_s)], \quad q \geq p, \quad (2d)$$

$$\Gamma(p, t_s) = [\varphi(t_{s+1}-1), \varphi(t_{s+1}-2), \dots, \varphi(t_{s+1}-p)] \in R^{n \times p} \text{ 为增益矩阵,}$$

$$E(p, t_s) = [e(t_{s+1}-1), e(t_{s+1}-2), \dots, e(t_{s+1}-p)]^T \in R^p \text{ 为新息向量,}$$

$$Y(p, t_s) = [y(t_{s+1}-1), y(t_{s+1}-2), \dots, y(t_{s+1}-p)]^T \in R^p, \quad (2e)$$

$$e(t_s) = y(t_s) - \hat{y}(t_s), \quad \hat{y}(t_s) = \varphi^T(t_s) \theta(t_s). \quad (2f)$$

其中  $\hat{\theta}(t)$  为  $\theta(t)$  的估计, tr 表示迹. 整数序列  $\{t_s\}$  满足  $1 = t_0 < t_1 < t_2 < \dots$ ,  $1 \leq t_s^* = t_{s+1} - t_s < \infty$ .

工程上,  $t_s^*$  可认为是控制周期, 但在这一个周期  $t_s^*$  秒内, 每  $\frac{1}{N}$  秒 (每  $\frac{2}{N}$  秒, ...) 都可获得一组可用的数据信息, 可利用其中  $p$  组数据信息产生新息向量  $E(p, t_s)$  来对  $\hat{\theta}(t_s)$  进行修正, 多新息修正算法就是因此而得名. 当  $t_s^* = p = 1$  时, 多新息算法就是常规单新息的投影算法; 当  $t_s^* < p$  时, 多新息算法利用了过去的部分信息.

关于多新息辨识算法的收敛性有定理.

**定理 1.** 对于时变系统(1), 假设 1) 系统噪声  $\{v(t)\}$  均方有界, 即

$$(A1) \quad \sigma_v^2 \triangleq \text{Sup}_t E[v^2(t)] < \infty$$

2) 参数变化率  $w(t) = \theta(t) - \theta(t-1)$  均方有界, 即

$$(A2) \quad \sigma_w^2 \triangleq \text{Sup}_t E \|w(t)\|^2 < \infty$$

其中范数定义为  $\|X\|^2 = \text{tr}(XX^T)$ .

3) 持续激励条件成立:

$$(A3) \quad \begin{aligned} \frac{1}{p} \sum_{i=1}^p \varphi(t-i+1) \varphi^T(t-i+1) &\geq \alpha I, \quad \alpha > 0, \text{ a.s., } \forall t \geq 0 \\ 0 \leq m \leq \|\varphi(t)\|^2 = \varphi^T(t) \varphi(t) &\leq M < \infty, \text{ a.s., } \forall t \geq 0 \end{aligned}$$

那么多新息算法给出的参数估计误差  $\|\hat{\theta}(t) - \theta(t)\|$  有界, 即

$$\lim_{t \rightarrow \infty} E \|\hat{\theta}(t) - \theta(t)\| \leq A \cdot \{\text{Sup}_t E[v^2(t)]\}^{\frac{1}{2}} + B \cdot \{\text{Sup}_t E \|w(t)\|^2\}^{\frac{1}{2}},$$

$$\left\{ \begin{array}{l} A = \frac{pM \cdot \max(t_{\max}^* - 1, p - t_{\min}^*)}{(qm+1)(1-\rho)} + \frac{t_{\max}^*}{1-\rho}, \quad B = \frac{p\sqrt{M}}{(qm+1)(1-\rho)}, \\ t_{\max}^* = \max(t_1^*, t_2^*, t_3^*, \dots), \quad t_{\min}^* = \min(t_1^*, t_2^*, t_3^*, \dots), \quad 0 < \rho < 1. \end{array} \right.$$

证明. 由于  $\theta(t+1) = \theta(t) + w(t+1)$ ,  $\theta(t_s+i) = \theta(t_s) + \sum_{j=1}^i w(t_s+j)$  当  $i \leq t_s^*$  时,

有

$$\theta(t_{s+1}-i) = \theta(t_s + t_s^* - i) = \theta(t_s) + \sum_{j=1}^{t_s^*-i} w(t_s+j), \quad (3)$$

而  $\theta(t-1) = \theta(t) - w(t)$ ,  $\theta(t_s-j) = \theta(t_s) - \sum_{l=1}^j w(t_s-l+1)$ . 当  $i > t_s^*$  时, 有

$$\theta(t_{s+1}-i) = \theta[t_s - (i - t_s^*)] = \theta(t_s) - \sum_{l=1}^{i-t_s^*} w(t_s-l+1). \quad (4)$$

定义函数  $\delta(x) = \begin{cases} 1, & x \geq 0, \\ 0, & x < 0, \end{cases}$  则对于任意  $i \geq 0$ , (3)式和(4)式可以合并成

$$\theta(t_{s+1}-i) = \theta(t_s) + \sum_{j=1}^{|t_s^*-i|} [\delta(t_s^*-i)w(t_s+j) - \delta(i-t_s^*)w(t_s-j+1)]. \quad (5)$$

由(2e)式和(1)式可得

$$Y(p, t_s) = \Gamma^T(p, t_s)\theta(t_s) + W(p, t_s) + V(p, t_s). \quad (6)$$

其中

$$W(p, t_s) = \begin{bmatrix} \varphi^T(t_{s+1}-1) \sum_{j=1}^{|t_s^*-1|} [\delta(t_s^*-1)w(t_s+j) - \delta(1-t_s^*)w(t_s-j+1)] \\ \vdots \\ \varphi^T(t_{s+1}-p) \sum_{j=1}^{|t_s^*-p|} [\delta(t_s^*-p)w(t_s+j) - \delta(p-t_s^*)w(t_s-j+1)] \end{bmatrix},$$

$$V(p, t_s) = \begin{bmatrix} v(t_{s+1}-1) \\ \vdots \\ v(t_{s+1}-p) \end{bmatrix}.$$

定义参数估计误差向量  $\tilde{\theta}(t) = \hat{\theta}(t_s) - \theta(t)$ , 利用(2a)、(2b)式和(6)式, 有

$$\begin{aligned} \tilde{\theta}(t_{s+1}) &= \hat{\theta}(t_{s+1}) - \theta(t_{s+1}) \\ &= \left[ I - \frac{\Gamma(p, t_s)\Gamma^T(p, t_s)}{r(q, t_s)} \right] \tilde{\theta}(t_s) + \psi(p, t_s). \end{aligned} \quad (7)$$

其中

$$\psi(p, t_s) = \frac{\Gamma(p, t_s)[W(p, t_s) + V(p, t_s)]}{r(q, t_s)} - \sum_{i=1}^{t_s^*} w(t_s+i). \quad (8)$$

利用条件(A1)–(A3), 有

$$1) \quad qm + 1 \leq r(q, t_s) \leq qM + 1,$$

$$2) \quad \left[ I - \frac{\Gamma(p, t_s)\Gamma^T(p, t_s)}{r(q, t_s)} \right] \leq \rho I, \quad 0 < \rho < 1,$$

$$3) \quad E \| \Gamma(p, t_s)W(p, t_s) \| \leq pM \cdot \max(t_s^*-1, p-t_s^*)\sigma_w,$$

$$4) \quad E \| \Gamma(p, t_s)V(p, t_s) \| \leq p\sqrt{M}\sigma_v.$$

令  $T(s) = E \|\tilde{\theta}(t_s)\|$ , (7)式两边取范数, 并利用以上诸式, 可得

$$\begin{aligned} T(s+1) &\leq \rho T(s) + \left[ \frac{pM \cdot \max(t_s^* - 1, p - t_s^*)}{(qm+1)} + t_s^* \right] \sigma_w + \frac{p\sqrt{M}}{(qm+1)} \sigma_v \\ &\leq \rho^s T(1) + \frac{1-\rho^s}{1-\rho} \left[ \left( \frac{pM \cdot \max(t_{\max}^* - 1, p - t_{\min}^*)}{(qm+1)} + t_{\max}^* \right) \sigma_w \right. \\ &\quad \left. + \frac{p\sqrt{M}}{(qm+1)} \sigma_v \right]. \end{aligned} \quad (9)$$

(9)式两边取极限( $s \rightarrow \infty$ )得到

$$\begin{aligned} \lim_{t \rightarrow \infty} E \|\hat{\theta}(t) - \theta\| &= \lim_{t \rightarrow \infty} E \|\tilde{\theta}(t)\| \\ &= \lim_{s \rightarrow \infty} E \|\tilde{\theta}(t_{s+1})\| = \lim_{s \rightarrow \infty} T(s+1) = A\sigma_w + B\sigma_v, \end{aligned}$$

这就证明了定理1的论断.

### 3 数字仿真

例1. 仿真下列时不变系统

$$\begin{aligned} A(z)y(t) &= B(z)u(t) + v(t), \\ A(z) &= 1 + a_1z^{-1} + a_2z^{-2} = 1 - 0.75z^{-1} + 0.5z^{-2}, \\ B(z) &= b_1z^{-1} + b_2z^{-2} = z^{-1} + 0.3z^{-2}, \\ \theta(t) &= \theta = [a_1, a_2, b_1, b_2]^T, \\ \varphi(t) &= [-y(t-1), -y(t-2), u(t-1), u(t-2)]^T, \end{aligned}$$

其中  $z^{-1}$  为单位后移算子.

仿真时  $\{u(t)\}$  采用零均值单位方差不相关可测随机变量序列,  $\{v(t)\}$  采用零均值方差为  $\sigma_v^2 = 0.3^2$  不相关随机噪声序列. 利用多新息算法(2)估计这个系统的参数(取  $t_s^* = p = n = 4$ ,  $q = 10$ ), 不同迭代次数( $t/t_s^*$ )下的参数估计如表1所示, 其中  $\delta_{ns}$  为噪信比,

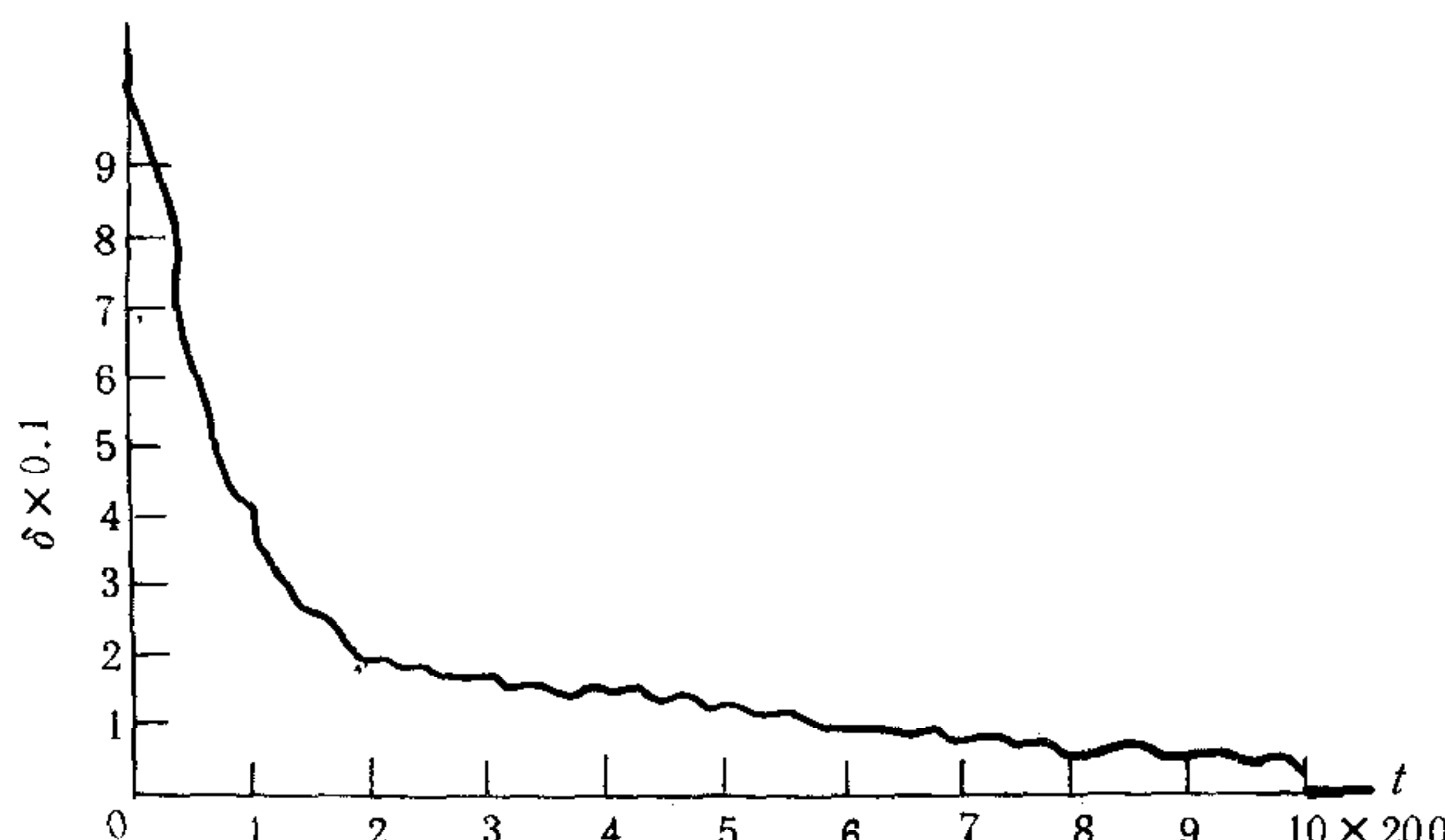


图1 例1的 $\delta$ 随 $t$ 变化曲线

参数估计相对误差范数定义为  $\delta = \|\hat{\theta}(t) - \theta(t)\| / \|\theta(t)\|$ ,  $\delta$  随  $t$  变化曲线如图 1 所示. 从表 1 和图 1 可知,  $\delta$  随  $t$  增大而下降; 说明多新息算法估计时不变参数也是有效的.

表 1 例1的参数及其估计

$t/t_s^*$	$\sigma_v^2 = 0.30^2$		$\delta_{ns} = 25.45\%$		
	$a_1$	$a_2$	$b_1$	$b_2$	$\delta$ (%)
$300/t_s^*$	-0.7500	0.5000	1.0000	0.3000	16.461
$500/t_s^*$	-0.6485	0.4336	0.9755	0.4123	12.114
$1000/t_s^*$	-0.7677	0.4867	1.0033	0.3805	6.055
$2000/t_s^*$	-0.7055	0.4997	1.0343	0.2709	4.586

## 例 2. 仿真下列时变系统

$$y(t) + a_1(t)y(t-1) = b_1(t)u(t-1) + v(t),$$

$$\theta(t) = \begin{bmatrix} a_1(t) \\ b_1(t) \end{bmatrix} = \begin{bmatrix} 0.5 \\ 0.5 + 0.5\sqrt[4]{t} \end{bmatrix}, \quad \varphi(t) = \begin{bmatrix} -y(t-1) \\ u(t-1) \end{bmatrix}.$$

仿真条件同例 1. 参数及其估计如图 2(a) 所示 (取  $t_s^* = p = n = 2, q = 4$ ),  $\delta$  随  $t$  变化曲线如图 2(b) 所示. 从图 2 可知, 多新息算法具有跟踪时变参数的能力.

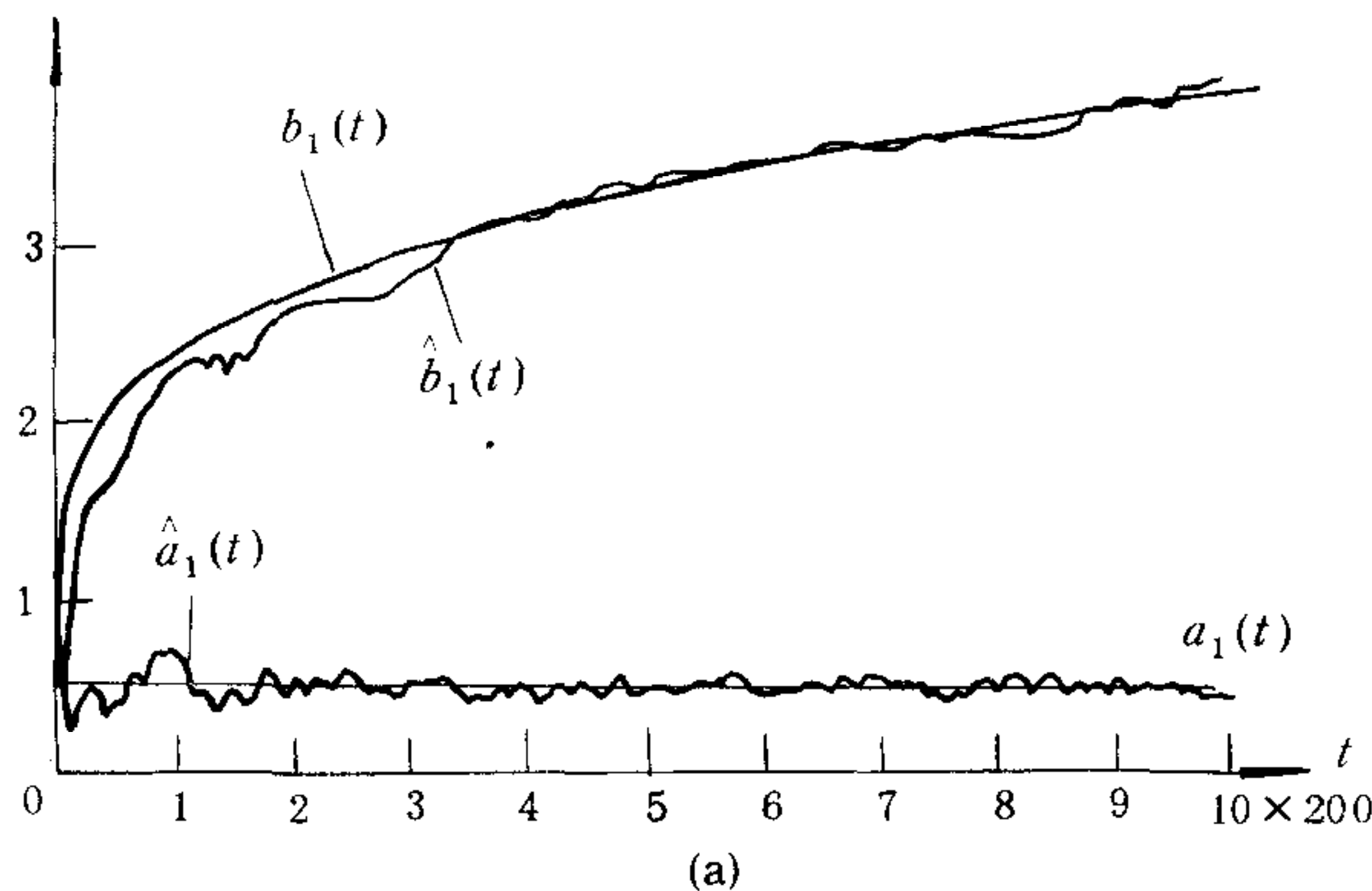
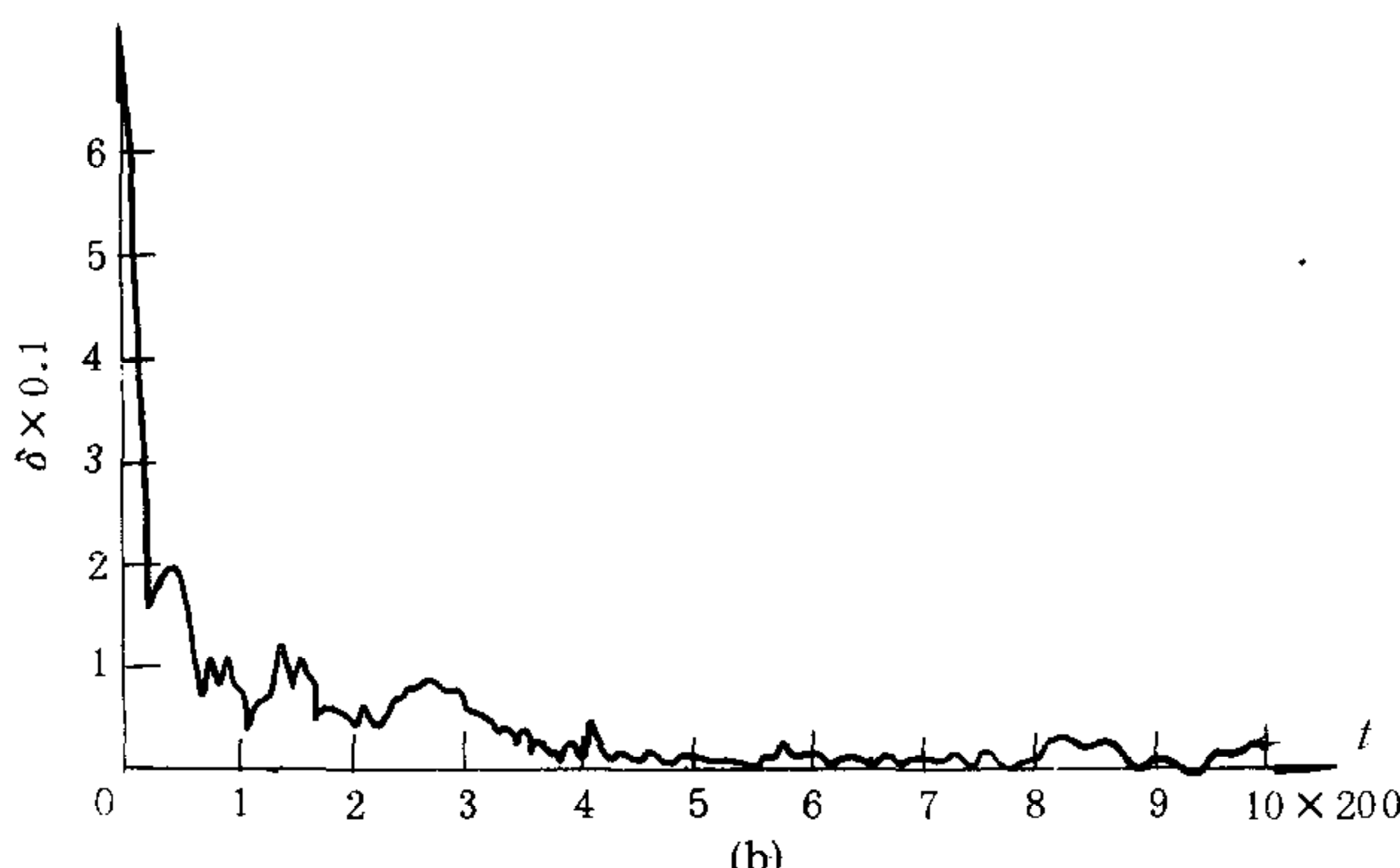


图 2(a) 例 2 的参数及其估计变化曲线

图 2(b) 例 2 的  $\delta$  随  $t$  变化曲线

## 4 结语

多新息辨识算法有以下特点:

- 1) 可以通过适当选择  $q$  值来减小参数估计误差, 提高算法的辨识精度.
- 2) 当  $t_s^* < p$  时, 多新息算法充分(重复)利用了系统的数据信息, 在一定程度上可以提高算法的收敛速度.
- 3) 多新息算法可以抑制坏数据对参数估计的影响, 计算量也较最小二乘法和卡尔曼滤波估计算法小.
- 4) 多新息算法的收敛性分析中, 对噪声没有平稳性假设, 但是定理 1 的结果说明数据的平稳性有利于提高辨识精度.
- 5) 多新息算法可以作为系统辨识和参数估计的基本方法之一, 它与最小二乘法, 卡尔曼滤波算法和随机逼近算法一样, 可以用于各种模型的参数估计.
- 6) 多新息算法是单新息的投影算法的推广.

## 参 考 文 献

- [1] 方崇智, 肖德云. 过程辨识. 北京: 清华大学出版社, 1988.
- [2] Goodwin G C, Elliott H, Teoh E K. Deterministic convergence of a self-tuning regulator with covariance resetting. IEE Proc. Pt. D, 1983, 130 (1): 6—8.
- [3] Goodwin G C, Sin K S. Adaptive filtering prediction and control. Prentice-hall, INC., Englewood Cliffs, New Jersey, 1984.

## MULTI-INNOVATION IDENTIFICATION METHOD FOR TIME-VARYING SYSTEMS

DING FENG XIE XINMIN FANG CHONGZHI

(*Department of Automation, Tsinghua University, Beijing 100084*)

### ABSTRACT

In this paper, the single innovation modification technique of estimating time-invariant parameters is extended, and the multi-innovation identification method is presented. This method may overcome the effect of bad data on the parameter estimation. It has stronger robustness and may track time-varying parameters. Its computational burden is less than forgetting factor least squares algorithm and Kalman filter algorithm. The simulation results indicate that the multi-innovation algorithm works quite well.

**Key words:** Parameter estimation, time-varying system, convergence, multi-innovation technique.